

Scutellinia crinita

(Bull.) Lambotte, *Mém. Soc. roy. Sci. Liège, Série 2* 14: 301 (prepr.) (1887) [1888]



Pyrenomataceae, Pezizales, Pezizomycetidae, Pezizomycetes, Pezizomycotina, Ascomycota, Fungi

- ≡ *Aleurina crinita* (Bull.) Sacc. & P. Syd., *Syll. fung.* (Abellini) 16: 739 (1902)
- = *Ciliaria crinita* (Bull.) Boud., *Hist. Class. Discom. Eur.* (Paris): 62 (1907)
- = *Humaria crinita* (Bull.) Quél., *Enchir. fung.* (Paris): 285 (1886)
- = *Lachnea cervorum* Velen., *Monogr. Discom. Bohem.* (Prague): 308 (1934)
- = *Lachnea crinita* (Bull.) Gillet, *Les Discomycètes* 3: 75 (1880)
- = *Lachnea crinita* (Bull.) Rehm, in Winter, *Rabenh. Krypt.-Fl.*, Edn 2 (Leipzig) 1.3(lief. 44): 1065 (1895) [1896]
- = *Lachnea setosa* f. *cervorum* (Velen.) Svrček, *Acta Mus. Nat. Prag.* 4B(no. 6 (bot. no. 1)): 47 (1948)
- = *Peziza crinita* Bull., *Herb. Fr.* (Paris) 9: tab. 416, fig. 2 (1789)
- = *Peziza crinita* subsp. *chermesina* Pers., *Mycol. eur.* (Erlanga) 1: 256 (1822)
- = *Peziza crinita* Bull., *Herb. Fr.* (Paris) 9: tab. 416, fig. 2 (1789) subsp. *crinita*
- = *Phaeopezia crinita* (Bull.) Sacc., *Syll. fung.* (Abellini) 8: 474 (1889)
- = *Scutellinia cervorum* (Velen.) Svrček, *Česká Mykol.* 25(2): 83 (1971)
- = *Scutellinia crinita* (Bull.) Lambotte, *Mém. Soc. roy. Sci. Liège, Série 2* 14: 301 (prepr.) (1887) [1888] var. *crinita*
- = *Scutellinia crinita* var. *discreta* (Kullman & Raitv.) Matočec & Krisai, in Matočec, Krisai-Greilhuber & Scheuer, *Öst. Z. Pilzk.* 14: 328 (2005)
- = *Scutellinia scutellata* var. *cervorum* (Velen.) Le Gal, *Bull. trimest. Soc. mycol. Fr.* 82: 317 (1966)
- = *Scutellinia scutellata* var. *discreta* Kullman & Raitv., in Kullman, *Scripta Mycol.*, Tartu 10: 100 (1982)
- = *Scutellinia setosa* f. *cervorum* (Velen.) Svrček, *Česká Mykol.* 16: 108 (1962)
- = *Trichaleuris crinita* (Bull.) Clem., *Gen. fung.* (Minneapolis): 175 (1909)

Material estudiado:

España, Cuenca, Cuenca, Nacimiento Río Cuervo, 30TWK9375, 1.436 m, en suelo en lugar húmedo bajo *Pinus sylvestris*, 13-V-2017, leg. Ángeles Carrillo, Dianora Estrada, Pedro Delgado y Demetrio Merino, JA-CUSSTA: 8876.

Descripción macroscópica:

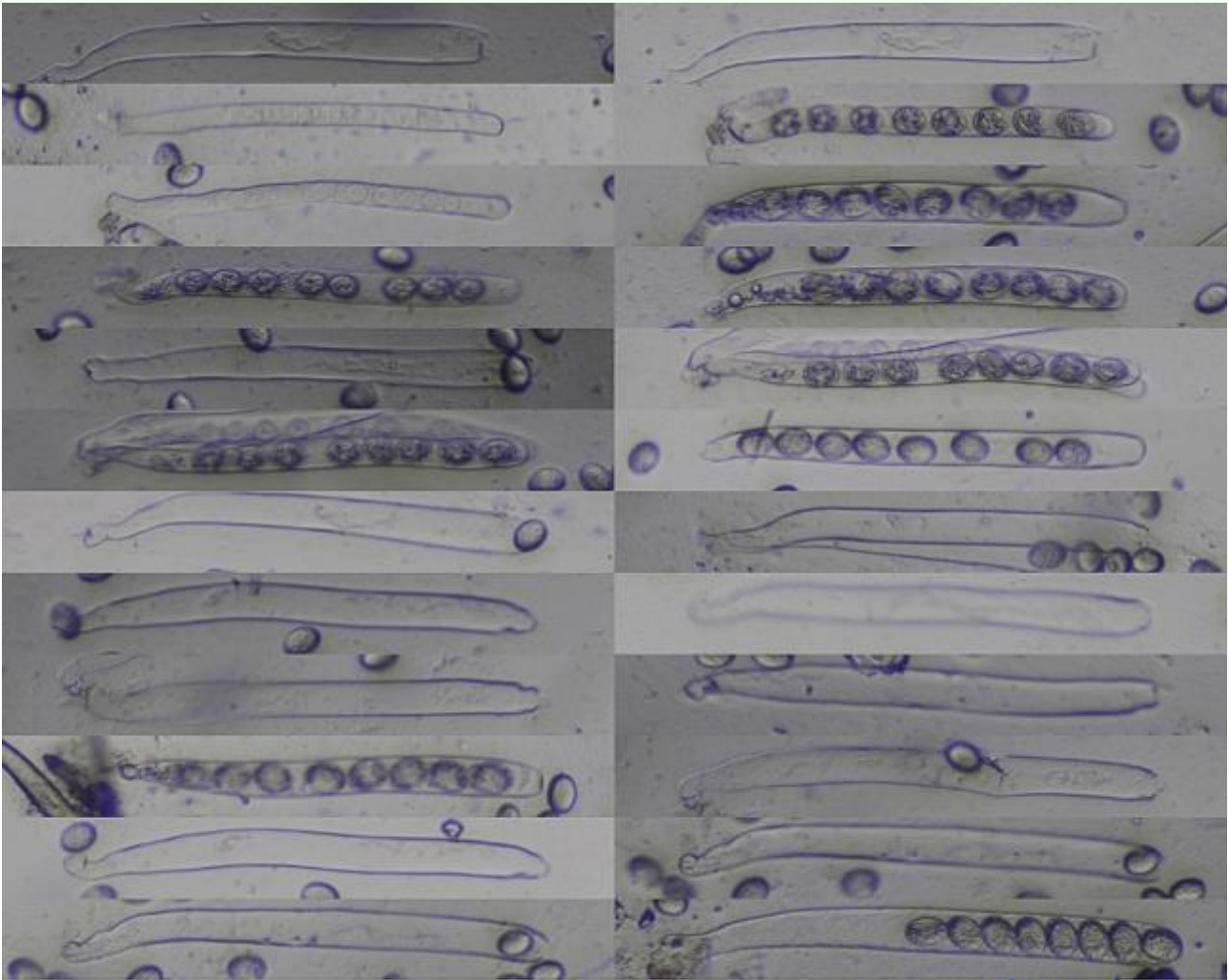
Apotecios sesiles, subdiscoidales a cupuliformes, de 5-16 mm de diámetro. **Himenio** liso, rojo, con margen perfectamente diferenciado y densamente cubierto de pelos, largos, de color marrón. **Cara externa** concolora con el himenio, cubierta de pelos de las mismas características que los del margen pero más pequeños.

Descripción microscópica:

Ascas cilíndricas, hialinas, inamiloides, octosporicas, operculadas, con la base pleurorinca, de (193,4-)209,9-242,7(-286,9) × (13,9-)15,7-22,0(-24,0) µm; N = 34; Me = 228,8 × 19,2 µm. **Ascosporas** subglobosas a elipsoidales, hialinas, multigutuladas, ornamentadas con pequeñas verrugas aisladas difíciles de ver al microscopio óptico, de (17,8-)18,8-20,4(-21,3) × (13,4-)13,6-15,4(-16,4) µm; Q = (1,2) 1,3 - 1,4 (1,5); N = 42; Me = 19,7 × 14,5 µm; Qe = 1,4. **Paráfisis** cilíndricas, septadas, bifurcadas en el ápice y en la base, con ápice engrosado a piriforme, con un ancho de (7,8-)8,5-10,2(-10,9) µm; N = 19; Me = 9,2 µm.

Descripción microscópica:

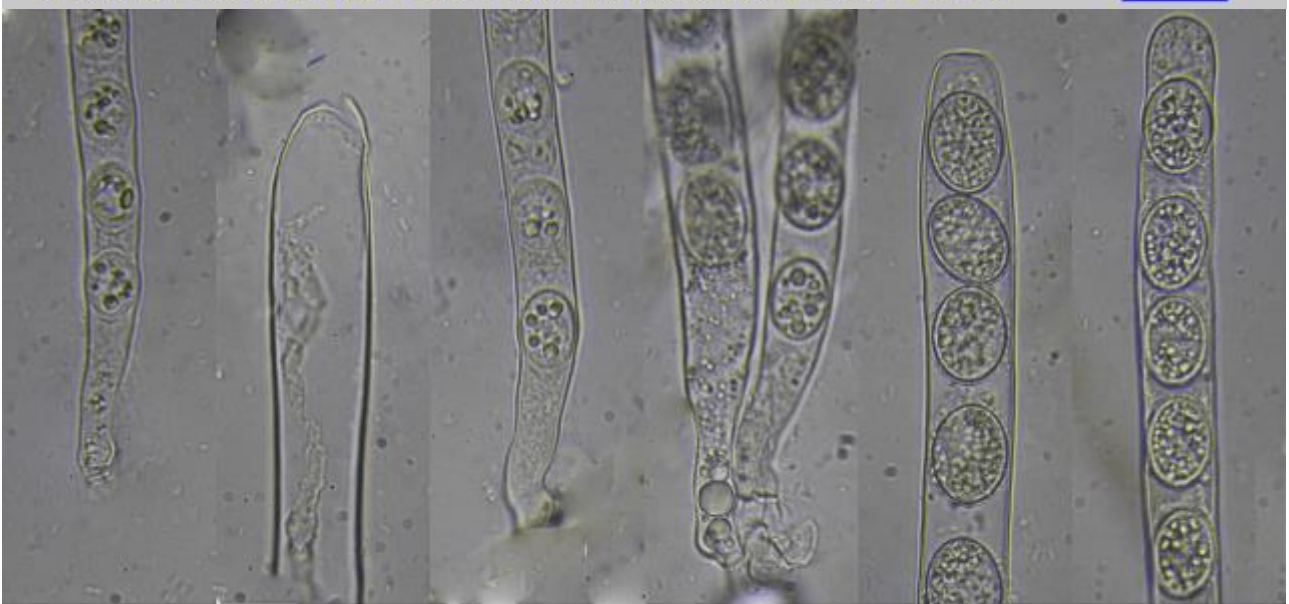
.../... **Subhimenio y Excípulo medular** de textura intrincada. **Excípulo ectal** de estructura isodiamétrica/angular. **Pelos marginales** anchos en la base, mono/bifurcada, apuntados en el ápice, multiseptados, de paredes gruesas, algunos curvados, de $(669,6-719,4-1.341,1(-1.367,5) \times (26,8-28,4-37,6(-41,2) \mu\text{m}; N = 17; Me = 1.029,6 \times 33,4 \mu\text{m}$, los faciales iguales en forma, de $(193,9-253,1-404,3(-512,7) \times (13,2-19,6-31,0(-37,4) \mu\text{m}; N = 17; Me = 330,8 \times 24,0 \mu\text{m}$.



AscAs Agua

$(193,4-209,9-242,7(-286,9) \times (13,9-15,7-22,0(-24,0) \mu\text{m}; N = 34; Me = 228,8 \times 19,2 \mu\text{m}$

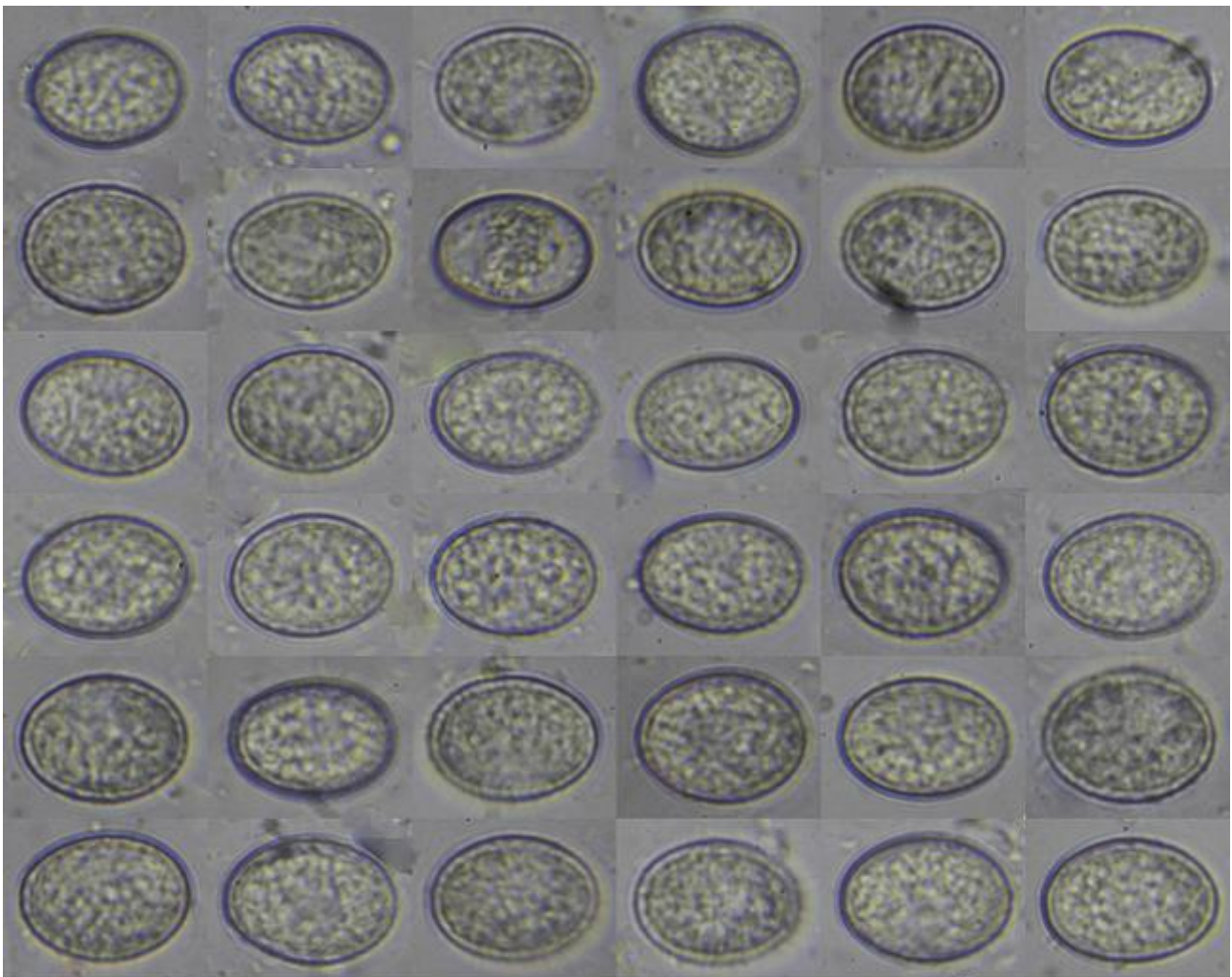
50 μm



AscAs IKI1

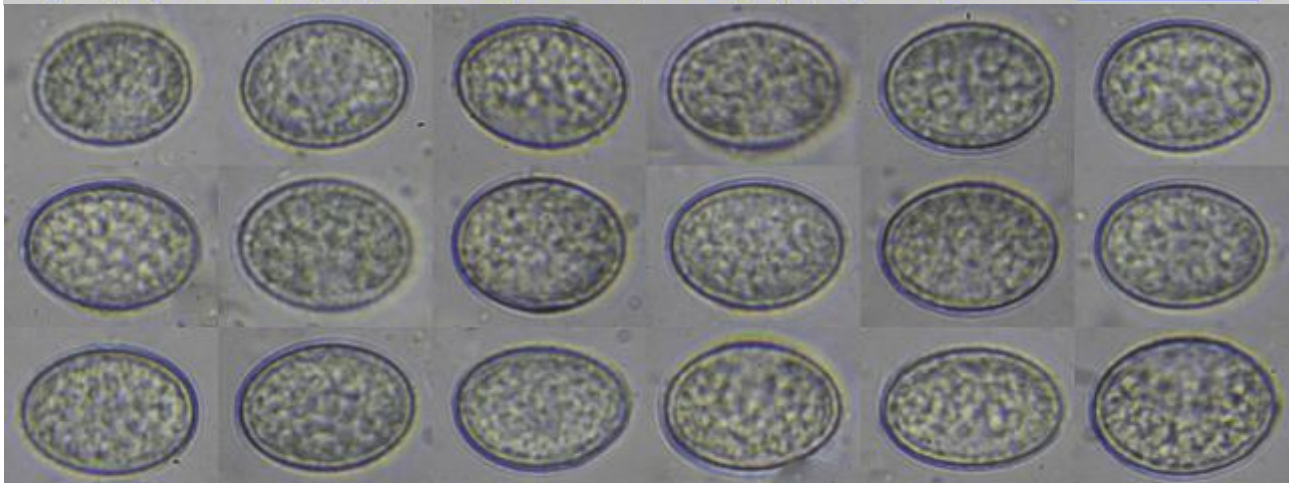
20 μm

A. AscAs



(17,8-)18,8-20,4(-21,3) × (13,4-)13,6-15,4(-16,4) μm
Q = (1,2) 1,3 - 1,4 (1,5); N = 42; Me = 19,7 × 14,5 μm ; Qe = 1,4

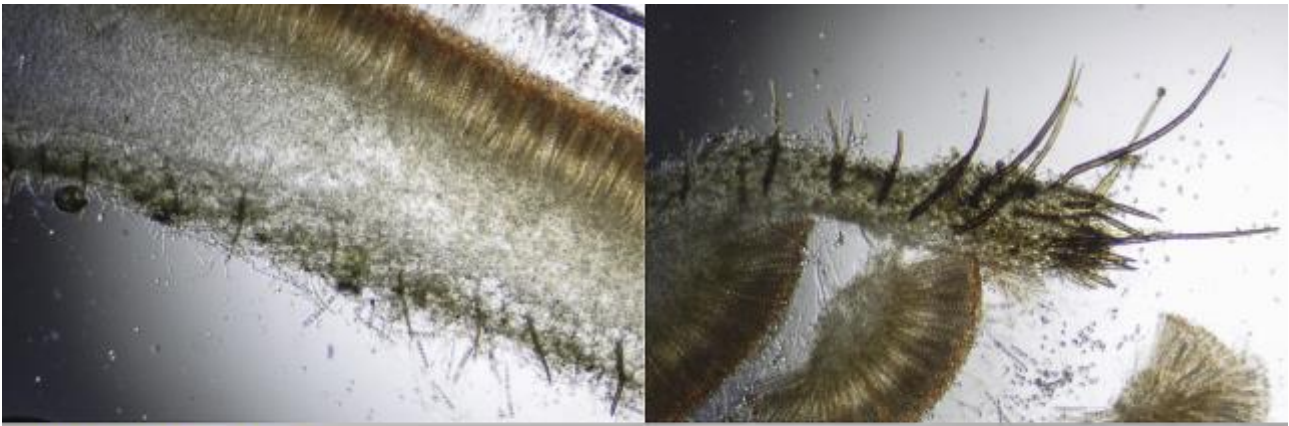
Esporas Agua
20 μm



Esporas Azul de Metilo

20 μm

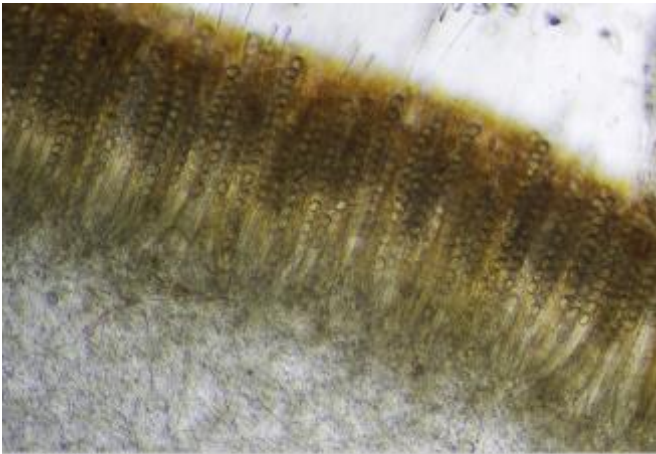
B. Esporas.



Corte Apotecio Agua

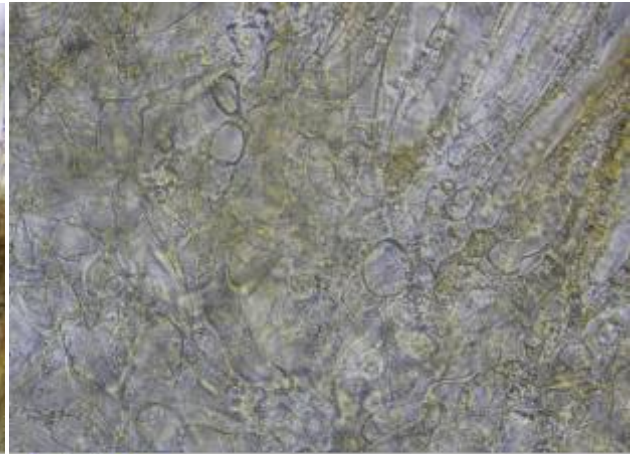
200 μm

C. Corte Apotecio.



Himenio Agua

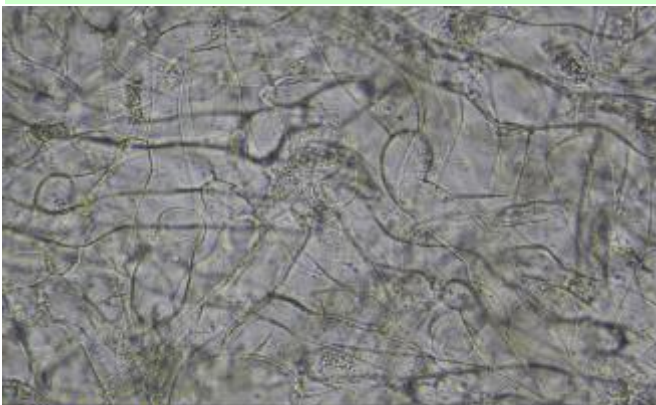
50 μm



Subhimenio Agua

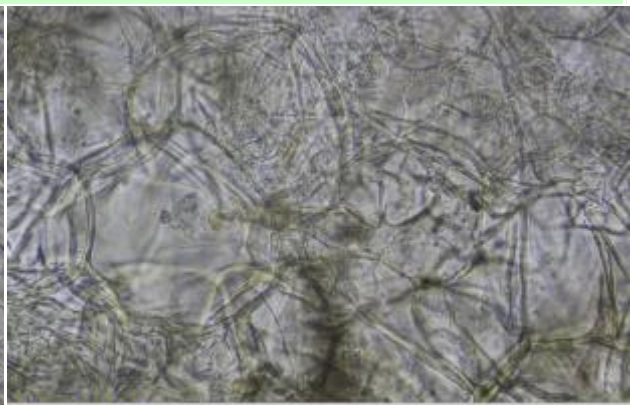
20 μm

D. Himenio (izquierda) y Subhimenio (derecha).



Excípulo Medular Agua

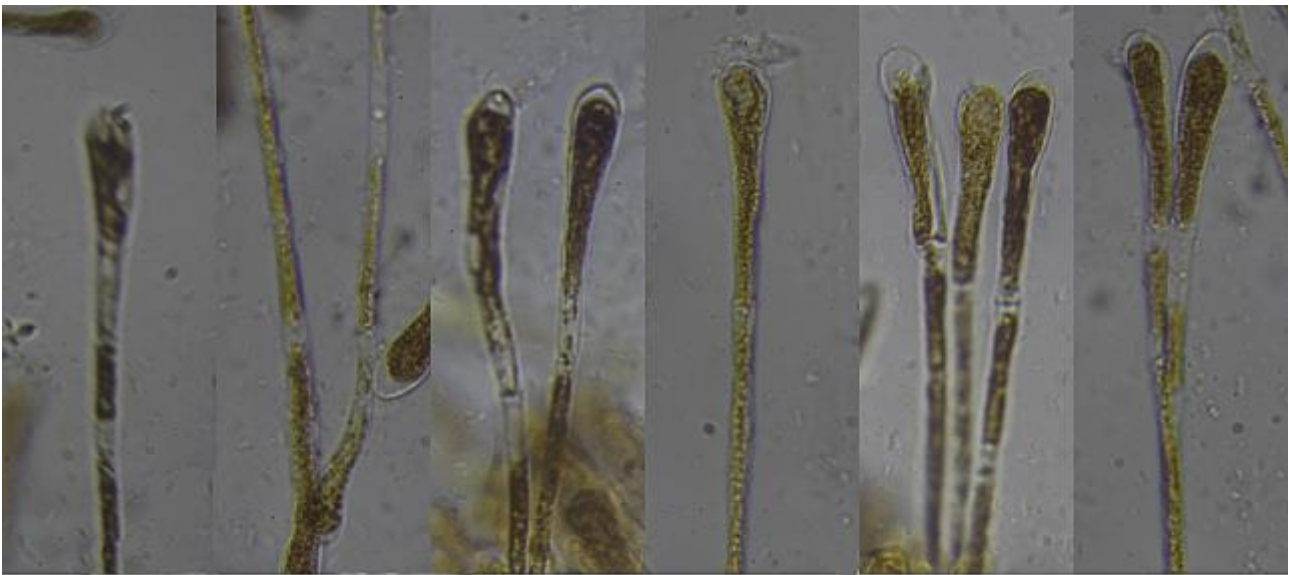
20 μm



Excípulo Ectal Agua

20 μm

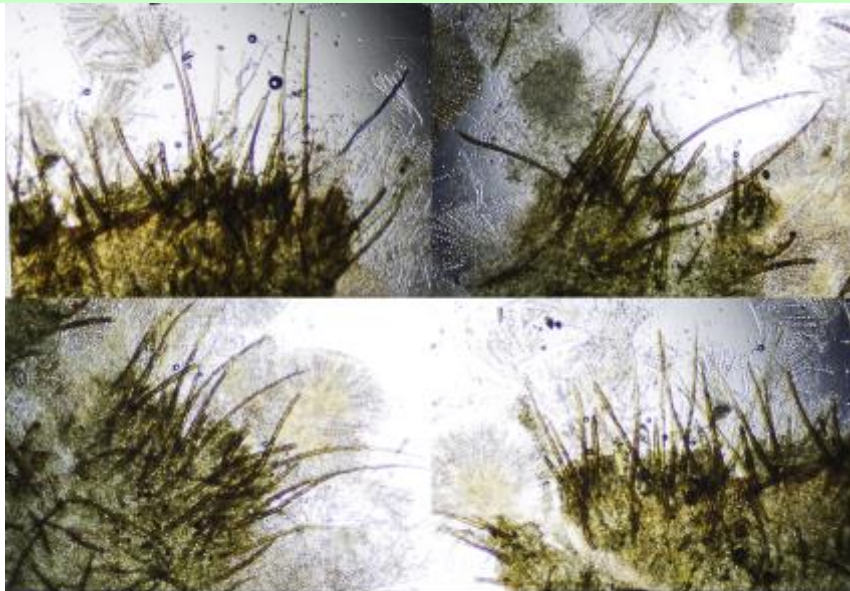
E. Excípulo medular (izquierda) y Excípulo ectal (derecha).



Paráfisis IKI1

20 μ m

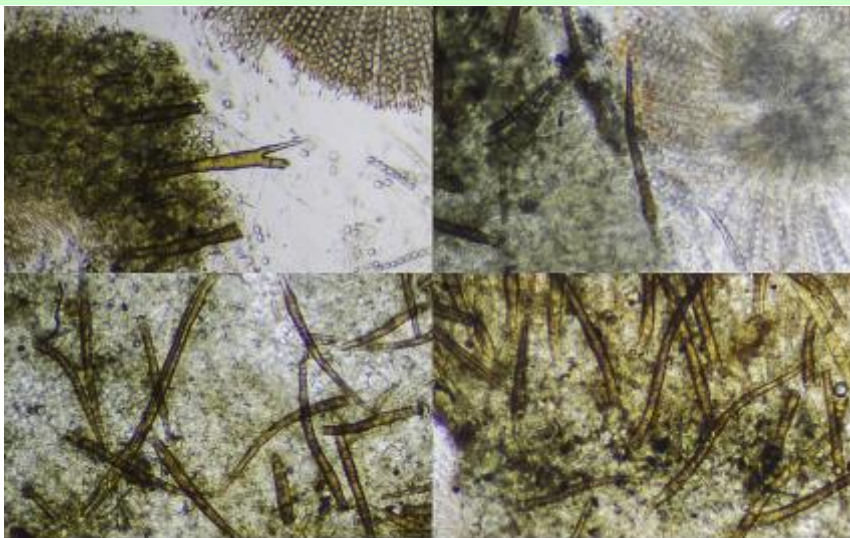
F. Paráfisis.



Pelos Marginales Agua

100 μ m

G. Pelos marginales.



Pelos Faciales Agua

100 μ m

H. Pelos faciales.

Observaciones

Scutellinia scutellata (L.:Fr.) Lambotte tiene los pelos marginales aún más largos, multifurcados en la base, esporas más pequeñas (18,0-19,5 x 11,0-13,0 μm), con verrugas más evidentes y crece sobre madera caída (MEDARDI, 2006:482).

Otras descripciones y fotografías

- MEDARDI G. (2006) Atlante fotografico degli Ascomiceti d'Italia. A.M.B. Fondazione Centro Studi Micologici. Pág. 482.



Salvo indicación en contrario, las fotos están realizadas por Demetrio Merino.